

Л. Л. Коваленко, О. И. Вьюнов,  
Б. С. Хоменко, О. З. Янчевский, А. Г. Белоус

## ВЛИЯНИЕ ДОБАВОК BN, AlN, ZrN НА СВОЙСТВА ПОЛУПРОВОДНИКОВОГО ТИТАНАТА БАРИЯ

Методами термогравиметрического, рентгенофазового анализов и электронной микроскопии исследованы физико-химические свойства полупроводникового Y-содержащего BaTiO<sub>3</sub>, легированного добавками BN, AlN, ZrN. При введении указанных добавок образуются соединения, которые влияют на окислительно-восстановительные реакции, что позволяет расширить температурный интервал восстановления полупроводниковой керамики.

Керамика на основе полупроводникового титаната бария (BaTiO<sub>3</sub>) широко используется в резисторах с положительным температурным коэффициентом сопротивления (ПТКС). Полупроводниковые свойства в титанате бария образуются при легировании гетеровалентными донорными добавками. Наряду с донорными добавками в BaTiO<sub>3</sub> вводят минерализаторы, которые, не обеспечивая появления полупроводниковых свойств, в значительной степени влияют на поведение легирующих примесей, на формирование микроструктуры и на характер окислительно-восстановительных реакций при синтезе керамики. В производстве позисторов важно обеспечить воспроизводимость их свойств, поэтому вариации скорости охлаждения образцов должны минимально сказываться на окислении зерен керамики. Использование в качестве минерализаторов бескислородных соединений способствует стабилизации восстановленной полупроводниковой фазы за счет собственного окисления во время спекания. В свою очередь, продукты окисления вещества-минерализатора могут влиять на температуру спекания и микроструктуру керамики. В качестве бескислородных минерализаторов изучались Si<sub>3</sub>N<sub>4</sub> [1,2], BN [3,4], TiB<sub>2</sub>, TiC, TiN [5,6]. Результаты исследований бескислородных соединений титана [6] показывают, что лучшие электрофизические свойства достигаются при введении нитрида титана. Поэтому целесообразно расширить круг исследуемых нитридов в качестве минерализаторов для синтеза полупроводникового титаната бария.

Цель данной работы — выяснить характер воздействия добавок нитридов бора, алюминия и циркония на процесс образования и электрофизические свойства полупроводниковой керамики на основе титаната бария.

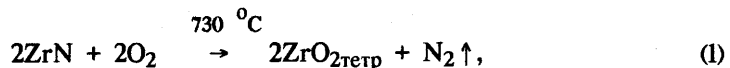
В качестве исходных реагентов для синтеза полупроводникового BaTiO<sub>3</sub> по керамической технологии использовали BaCO<sub>3</sub>, TiO<sub>2</sub> и Y<sub>2</sub>O<sub>3</sub> марки "ос.ч.". Количество иттрия, замещающего ионы Ba<sup>2+</sup>, обеспечивало появление полупроводниковых свойств в образцах. В шихту перед второй термообработкой на стадии мокрого помола вводили BN, ZrN и AlN марки "х.ч." (помол с AlN проводили во избежание гидролиза в бензоле). В качестве эталона использовали керамику с добавкой SiO<sub>2</sub>. Образцы в виде дисков диаметром 10 мм и толщиной 3 мм формировали полусухим способом с органической связкой под давлением 0,1 ГPa. Спекания проводили на воздухе в интервале температур 1300—1380 °C. Омический контакт с керамикой обеспечивали нанесением алюминиевых электродов. Процессы фазовых превращений изучали методом термического анализа (прибор Q-1000 ОД-102, скорость нагрева 10 град/мин) и методом рентгенофазового анализа (РФА) на дифрактометре ДРОН-3М (излучение CuK<sub>a</sub>). Измерения электрофизических свойств проводили в широком интервале температур и напряженностей электрического поля.

© Л. Л. Коваленко, О. И. Вьюнов, Б. С. Хоменко, О. З. Янчевский, А. Г. Белоус, 1998

Таблица 1  
Фазовый состав BN, AlN, ZrN, подвергнутых термообработке длительностью 2 ч

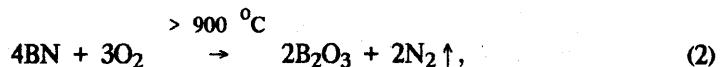
T, °C	Фазовый состав		
	BN	AlN	ZrN
20	BN	AlN	ZrN, следы ZrO <sub>2</sub> тетр, ZrO <sub>2</sub> мнкл
600	BN	AlN	ZrN, ZrO <sub>2</sub> тетр, следы ZrO <sub>2</sub> тетр
750	BN	AlN	ZrO <sub>2</sub> тетр, ZrO <sub>2</sub> мнкл
900	BN, следы-B <sub>2</sub> O <sub>3</sub>	AlN, следы-Al <sub>2</sub> O <sub>3</sub>	ZrO <sub>2</sub> тетр, ZrO <sub>2</sub> мнкл
1000	B <sub>2</sub> O <sub>3</sub>	AlN, Al <sub>2</sub> O <sub>3</sub>	ZrO <sub>2</sub> тетр, ZrO <sub>2</sub> мнкл
1200	B <sub>2</sub> O <sub>3</sub>	Al <sub>2</sub> O <sub>3</sub>	ZrO <sub>2</sub> тетр, ZrO <sub>2</sub> мнкл

В соответствии с данными табл. 1 и рис. 1 в ряду BN—AlN—ZrN наименее термически устойчив нитрид циркония. Экзоэффект при 730 °C указывает на окисление ZrN по схеме:



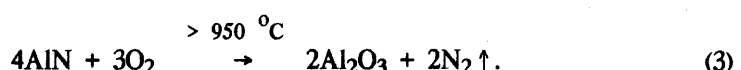
что согласуется с данными, приведенными в работе [10]. Согласно уравнению (1) окисление BN сопровождается приростом массы 17.1 % при экспериментально найденном 16.5 %. Для ZrN характерным является окисление до тетрагональной модификации оксида циркония.

Отсутствие экзоэффектов на кривых ДТА до 950 °C для образцов BN, AlN свидетельствует о более высоких температурах их окисления по сравнению с ZrN. Согласно данным термического и рентгенофазового анализов окисление нитрида бора, которое можно представить как



наблюдается при температуре выше 900 °C, тогда как в [7,8] для окисления BN приводится температура 800 °C.

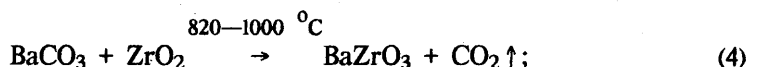
Наиболее термически устойчив нитрид алюминия, окисление которого до корунда с приростом массы (рис. 1, б) протекает при температуре выше 950 °C:



Для полного перехода AlN в Al<sub>2</sub>O<sub>3</sub> необходима термообработка длительностью 2–4 ч при температуре не менее 1200 °C, что согласуется с [8, 9].

При введении ZrN, BN, AlN (15 % (мол.)) в шихту полупроводникового титаната бария (рис. 1, табл. 2) наблюдается понижение температур окисления указанных нитридов соответственно до 700 °C, 880 °C, 970 °C, что объясняется увеличением реакционной способности соединений в смесях из нескольких компонентов, способных вступать во взаимодействие друг с другом.

Образующийся в системе BaTiO<sub>3</sub>—ZrN оксид циркония (ZrO<sub>2</sub>тетр) существует в диапазоне 700–900 °C. Согласно данным термического и рентгенофазового анализов разложение карбоната бария и взаимодействие его с ZrO<sub>2</sub> происходит при температуре выше 820 °C:



Т а б л и ц а 2

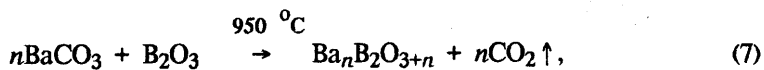
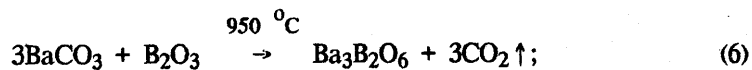
Фазовый состав смеси полупроводникового титаната бария с добавками нитридов (15 % (мол.)) при воздушной термообработке длительностью 2 ч

T, °C	Фазовый состав*		
	BaTiO <sub>3</sub> —BaCO <sub>3</sub> —BN	BaTiO <sub>3</sub> —BaCO <sub>3</sub> —AlN	BaTiO <sub>3</sub> —BaCO <sub>3</sub> —ZrN
20	BaTiO <sub>3</sub> , BaCO <sub>3</sub> , BN	BaTiO <sub>3</sub> , BaCO <sub>3</sub> , AlN	BaTiO <sub>3</sub> , BaCO <sub>3</sub> , ZrN
600	BaTiO <sub>3</sub> , BaCO <sub>3</sub> , BN	BaTiO <sub>3</sub> , BaCO <sub>3</sub> , AlN	BaTiO <sub>3</sub> , BaCO <sub>3</sub> , ZrN
750	BaTiO <sub>3</sub> , BaCO <sub>3</sub> , BN	BaTiO <sub>3</sub> , BaCO <sub>3</sub> , AlN	BaTiO <sub>3</sub> , BaCO <sub>3</sub> , следы ZrN, ZrO <sub>2</sub> тетр
900	BaTiO <sub>3</sub> , BaCO <sub>3</sub> , следы BN, B <sub>2</sub> O <sub>3</sub>	BaTiO <sub>3</sub> , BaCO <sub>3</sub> , AlN	BaTiO <sub>3</sub> , BaCO <sub>3</sub> , ZrO <sub>2</sub> тетр, следы BaZrO <sub>3</sub>
1100	BaTiO <sub>3</sub> , Ba <sub>3</sub> B <sub>2</sub> O <sub>6</sub> , Ba <sub>n</sub> B <sub>2</sub> O <sub>3+n</sub>	BaTiO <sub>3</sub> , Ba <sub>10</sub> Al <sub>2</sub> O <sub>13</sub>	BaTiO <sub>3</sub> , BaZrO <sub>3</sub> , Ba <sub>2</sub> ZrO <sub>4</sub>
1300	BaTiO <sub>3</sub> , Ba <sub>3</sub> B <sub>2</sub> O <sub>6</sub> , Ba <sub>n</sub> B <sub>2</sub> O <sub>3+n</sub>	BaTiO <sub>3</sub> , Ba <sub>10</sub> Al <sub>2</sub> O <sub>13</sub>	Ba(ZrTi)O <sub>3</sub>

\* Согласно результатам химического анализа содержание BaCO<sub>3</sub> < 5 % (мол.).

При температурах, близких к температурам спекания керамики (1300 °C), цирконаты бария образуют с титанатом бария твердый раствор типа Ba(Ti<sub>1-x</sub>Zr<sub>x</sub>)O<sub>3</sub>.

В системе BaTiO<sub>3</sub>—BN после окисления нитрида бора до борного ангидрида наблюдается экзоэффект при 950 °C, связанный с образованием боратов бария:



где  $n > 3$ . Значительное снижение общей интенсивности всех рефлексов на дифрактограммах образцов после термообработок при 1200 °C указывает на образование борсодержащих стекол с титанатом бария.

В системе BaTiO<sub>3</sub>—AlN, в отличие от индивидуального нитрида алюминия, эндоэффект при 970 °C свидетельствует о непосредственном окислении AlN до алюмината бария, образование которого оказывается предпочтительнее, чем корунда:



Поэтому в ряду рассматриваемых нитридов AlN представляет собой добавку с наиболее активными восстановительными свойствами в области высоких температур.

Зависимость удельного сопротивления полупроводниковой керамики от концентрации введенных BN, AlN, ZrN представлена на рис. 2. В диапазоне малых концентраций (0-2 % (мол.)) все рассматриваемые добавки значительно, на 5-6 порядков, снижают электрическое сопротивление позисторной керамики. Особенно эффективно стабилизируют восстановленную полупроводниковую фазу добавки BN и AlN.

Наиболее широким интервалом концентраций, в котором сохраняются полупроводниковые свойства, обладает нитрид бора. В тех случаях, когда необходимо понизить температуру спекания керамики, BN оказывается наиболее удачным минерализатором. Так, введение 3 % (мол.) нитрида бора позволяет снизить температуру спекания керамики при сохранении полу-

проводниковых свойств с 1360 до 1300 °С. Можно полагать, что при таких концентрациях нитрида бора на границах зерен образуется количество жидкой фазы, достаточное для "смачивания" границ зерен; при этом скорость диффузии кислорода по границам зерен уменьшается. Следовательно, дальнейшее увеличение концентрации BN не будет изменять удельное сопротивление поликристаллических образцов. В пользу данного объяснения свидетельствуют результаты исследований температурной зависимости удельного сопротивления борсодержащей полупроводниковой керамики (рис. 3): начиная с концентрации нитрида бора 3 % (мол.) и более в области температур 200–400 °С электрическое сопротивление образцов сохраняется постоянным; это согласуется с выводами, приведенными в [11] о влиянии стеклофазы на температурную зависимость сопротивления позисторной керамики. В тоже время с ростом концентрации BN непрерывно возрастают значения ПТКС керамики.

При использовании других нитридов — AlN, ZrN, в отличие от BN, диапазон концентраций, в которых сохраняются полупроводниковые свойства керамики, сужается до 0.5—5 % (мол.) и 1.5—2.5 % (мол.) соответственно. Этот факт объясняется тем, что ионы  $\text{Al}^{3+}$  и  $\text{Zr}^{4+}$  при температурах спекания способны в заметных количествах диффундировать с границы внутрь полупроводниковых зерен титаната бария, входя в его кристаллическую решетку. При этом алюминий действует как акцептор, снижающий эффективную концентрацию донорных атомов иттрия; образование же титаната-цирконата бария сопровождается нарушением стехиометрии  $\text{Ba:Ti}$ , что оказывает заметное влияние на свойства керамики [12]. Более низкая эффективность ZrN как понижающей сопротивление добавки, по сравнению с нитридами бора и алюминия, обусловлена наиболее низким температурным интервалом, в котором проявляются ее восстановительные свойства.

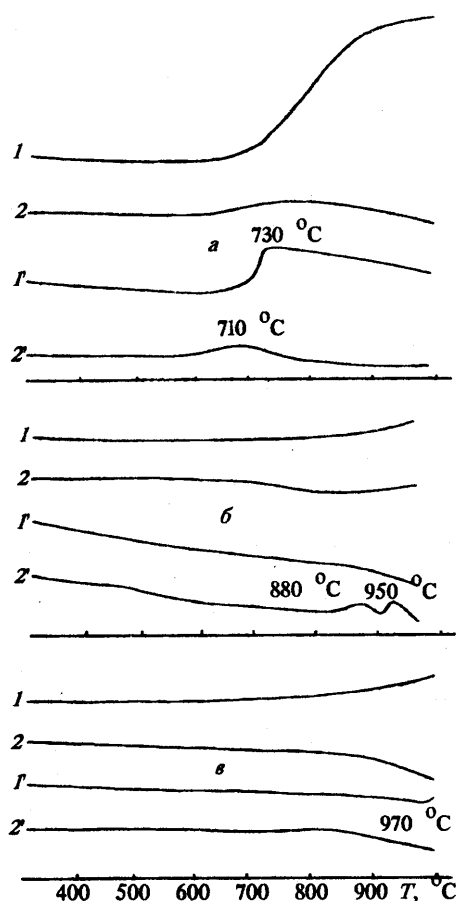


Рис. 1. Термограммы ТГ (1,2); ДТА (1',2') порошков: ZrN (1, 1'),  $(\text{BaY})\text{TiO}_3$ —ZrN (2,2') (а); BN (1,1'),  $(\text{BaY})\text{TiO}_3$ —BN (2,2') (б); AlN (1,1'),  $(\text{BaY})\text{TiO}_3$ —AlN (2,2') (в).

Широко используемая при изготовлении позисторов керамика с добавкой  $\text{SiO}_2$  обладает максимальной проводимостью при температуре спекания  $1360 \pm 10$  °С (рис. 4). Введение таких бескислородных добавок, как нитриды позволяет либо понизить температуру спекания керамики на 50—60 °С в случае BN, либо повысить проводимость в случае AlN. Применение нитрида циркония с точки зрения расширения температурного интервала восстановления не обеспечивает заметных преимуществ по сравнению с рассматриваемыми добавками.

Для позисторной керамики важным техническим параметром является ее устойчивость к напряженности электрического поля. На рис. 5 представлены зависимости нормированного удельного сопротивления ( $\rho_E / \rho_0$ ) полуроводниковой керамики на основе  $\text{BaTiO}_3$  с добавками нитрида бора от напряженности электрического поля. Как видно, при низком содержании

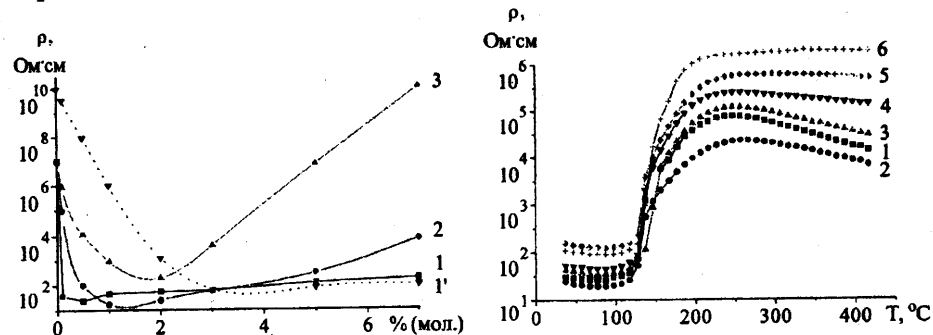


Рис. 2. Зависимость удельного сопротивления ( $\rho_{20}^{\circ}\text{C}$ ) полупроводниковой керамики на основе  $\text{BaTiO}_3$  от количества добавок BN (1), AlN (2), ZrN (3) ( $T_{\text{спек}} = 1360^{\circ}\text{C}$ ); BN (1') ( $T_{\text{спек}} = 1300^{\circ}\text{C}$ ).

BN (0.1—0.5 % (мол.)) наблюдается некоторое увеличение зависимости удельного сопротивления от напряженности электрического поля; дальнейшее увеличение концентрации добавки приводит к некоторому снижению варисторного эффекта. Исследования микроструктуры этих же образцов (рис. 6) показывают, что при введении 3 % (мол.) BN и более наблюдается уменьшение размеров кристаллитов, которое обеспечивает снижение варисторного эффекта.

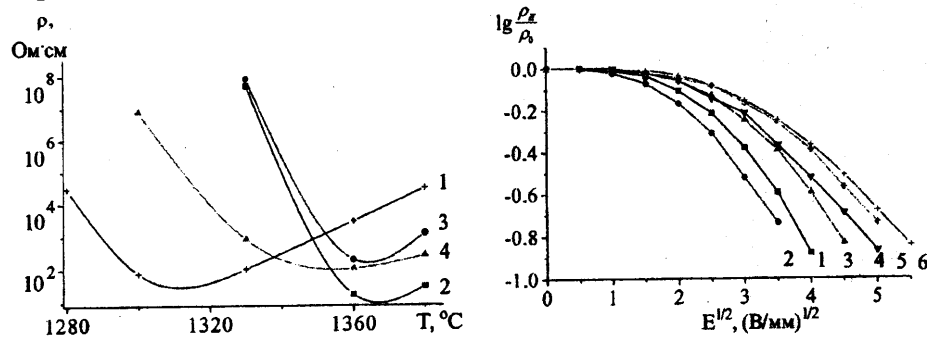


Рис. 3. Температурная зависимость удельного сопротивления полупроводниковой керамики на основе  $\text{BaTiO}_3$  с добавками BN, % (мол.): 0.1 (1); 0.5 (2); 1 (3); 3 (4); 5 (5); 7 (6).

BN (5 % (мол.)) и выше наблюдается некоторое снижение температурной устойчивости к окислению, что связано с тем, что при высоких температурах BN разлагается на B и N.

Рис. 4. Зависимость удельного сопротивления ( $\rho_{20}^{\circ}\text{C}$ ) полупроводниковой керамики на основе  $\text{BaTiO}_3$  с добавками, % (мол.): 5 BN (1), 1 AlN (2), 2 ZrN (3), 2  $\text{SiO}_2$  (4) от температуры спекания.

Рис. 5. Зависимость нормированного удельного сопротивления полупроводниковой керамики на основе  $\text{BaTiO}_3$  с добавками BN от напряженности электрического поля, % (мол.): 0.1 (1); 0.5 (2); 1 (3); 3 (4); 5 (5); 7 (6).  $T_{\text{спек}} = 1360^{\circ}\text{C}$ .

Таким образом, при исследовании влияния добавок нитридов бора, алюминия и циркония на свойства полупроводникового титаната бария установлены следующие закономерности: температурная устойчивость нитридов к окислению возрастает в ряду  $\text{ZrN}-\text{BN}-\text{AlN}$ ; способность нитридов к стабилизации восстановленной полупроводниковой фазы позисторной керамики прямо пропорциональна их температурной устойчивости и возрастает в ряду  $\text{ZrN}-\text{BN}-\text{AlN}$ ; в сравнении с  $\text{SiO}_2$  значительно расширяет и понижает температурный интервал процесса спекания-восстановления полупроводниковой керамики только стеклообразующая добавка BN.

**РЕЗЮМЕ.** Методами термічного, рентгенофазового аналізів та електронної мікроскопії досліджені фізико-хімічні властивості напівпровідникового Y-вмісного BaTiO<sub>3</sub>, легованого домішками BN, AlN, ZrN. При додаванні зазначенних домішок утворюються сполуки, що впливають на окислювально-відновлювальні реакції та процес синтезу напівпровідникової кераміки BaTiO<sub>3</sub> й дозволяють або розширити температурний інтервал її відновлення, або знизити її електричний опір.

**SUMMARY.** The physico-chemical properties of semiconducting Y-containing BaTiO<sub>3</sub> ceramics doped by BN, AlN and ZrN have been investigated using thermogravimetric measurements, X-ray diffraction analysis and electron microscopy. When specified additives were added, compounds are formed which affect redox reactions occurring during the synthesis of BaTiO<sub>3</sub> and allow one to expand the temperature interval of ceramic reduction.

1. Пат. 2 097 778 A Великобританії. МКІ С 04 В 35/46. / Т. Хиоки, Ш. Дой, О. Камігалто и др. -Опубл. 10.II.1982.
2. Белоус А. Г., Вьюнов О. И., Ковыляев В. В. // Укр. хим. журн. -1996. -62, № 6. -С. 75—78.
3. Но I.-O. // J. Amer. Ceram. Soc. -1994. -77, № 3. -Р. 829—832.
4. Полупроводники на основе титаната барія / Пер. с япон. И. Б. Реута. -М.: Энергоиздат, 1982.
5. Shen J. Q., Huang Z. Z., Sun Z. H. // Ferroelectrics. -1994. -154, № 1. -Р. 237—240.
6. Заявка 60-31794 Японія, МКІ Н 01 C, С 04 В. / К. К. Тоёда тюо кенкюсе. -Опубл. 24.07.1985.
7. Химия и физика нитридів. / Под ред. Г. В. Самсонова, М. Д. Лютой, А. Б. Гончарук. -К.: Наук. думка, 1968.
8. Лютая М. Д., Буханевич В. Ф. // Журн. неорган. химии. -1962. -7, вып. II. -С. 2487—2494.
9. Гнесин Г. Г. // Неорган. материалы. -1993. -29, № 6. -С. 756—763.
10. Попова О. И., Кабаныш Г. Е. // Журн. неорган. химии. -1960. -5, вып. 4. -С. 930—934.
11. Раєвська І. П., Павлов А. Н., Бондаренко Е. І., Прокопало О. І. // Изв. АН ССР. Сер. физ. -1990. -54, № 4. -С. 760—763.
12. Kuwabara M. // J. Amer. Ceram. Soc. -1981. -64, № 12. -Р. 170—171.

Інститут общей и неорганической химии  
им. В. И. Вернадского НАН Украины, Киев

Поступила 09.06.97

УДК 546.541.12.017

М. Ю. Сабов, Є. Ю. Переш, І. Є. Барчай

### ФАЗОВІ РІВНОВАГИ В СИСТЕМАХ Tl<sub>2</sub>S(Se,Te)—ZrS<sub>2</sub>(Se<sub>2</sub>,Te<sub>2</sub>)

Методами диференціально-термічного і рентгенофазового аналізів вивчено характер фізико-хімічної взаємодії в системах Tl<sub>2</sub>S(Se, Te)—ZrS<sub>2</sub>(Se<sub>2</sub>, Te<sub>2</sub>), побудовано відповідні діаграми стану. Система Tl<sub>2</sub>S—ZrS<sub>2</sub> характеризується наявністю трьох проміжкових фаз: Tl<sub>4</sub>ZrS<sub>4</sub>, Tl<sub>2</sub>ZrS<sub>3</sub> і Tl<sub>2</sub>Zr<sub>2</sub>S<sub>5</sub>. Сполуки Tl<sub>4</sub>ZrS<sub>4</sub> та Tl<sub>2</sub>ZrS<sub>3</sub> плавляться конгруентно при 985 і 1085 К, а Tl<sub>2</sub>Zr<sub>2</sub>S<sub>5</sub> утворюється по перитектичній реакції (1145 К). Із використанням результатів ДТА та інтерполяційних сплайнів було розраховано параметри дисоціації сполуки Tl<sub>4</sub>ZrS<sub>4</sub> при плавленні. Кількісним диференціально-термічним аналізом вивчено область гомогенності сполуки Tl<sub>4</sub>ZrS<sub>4</sub>. Розраховано ентальпію і ентропію плавлення цієї сполуки.

Фазові рівноваги та властивості проміжкових фаз в системах Tl<sub>2</sub>C<sup>VI</sup>—B<sup>IV</sup>C<sub>2</sub><sup>VI</sup> (B<sup>IV</sup>—Si, Ge, Sn; C<sup>VI</sup>—S, Se) описані в роботах [1—3]. Характерною особливістю хімічної взаємодії в цих системах є утворення різних по типу сполук, наприклад, Tl<sub>4</sub>B<sup>IV</sup>C<sub>4</sub><sup>VI</sup> (I), Tl<sub>2</sub>B<sup>IV</sup>C<sub>4</sub><sup>VI</sup> (II) і Tl<sub>2</sub>B<sub>2</sub><sup>IV</sup>C<sub>5</sub><sup>VI</sup> (III). З кристалохімічної точки зору їх об'єднує однакова координація центральних атомів (Si, Ge), що дорівнює чотирьом. Вона відповідає тетраедрам [B<sup>IV</sup>S<sub>4</sub>] для сполуки (I), асоційованим іонам [B<sup>IV</sup>S<sub>10</sub>]<sup>4-</sup> або [B<sup>IV</sup>S<sub>3</sub>]<sub>n</sub><sup>2n-</sup>, об'єднаними однією (III) або декількома (II) вершинами [5—9]. Крім цього, сполуки Tl<sub>4</sub>B<sub>2</sub><sup>IV</sup>C<sub>6</sub><sup>VI</sup> кристалізуються в одному і тому ж структурному типі Tl<sub>4</sub>Ge<sub>2</sub>S<sub>6</sub> [9].

© М. Ю. Сабов, Є. Ю. Переш, І. Є. Барчай, 1998